第四章 常用半导体器件原理

半导体: 导电率介于绝缘体与金属之间的一类物质特性: 光电导特性,负电阻率, 光伏电压,整流特性,参杂性

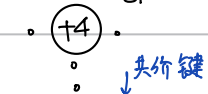
半导体: 原子最外层轨道电子数=4

绝缘体 >4, 导体<4

Si, Ge, C, GeSi, SiC等

4.R.本征半导体 (99.999999%)

纯净的硅/锗单晶体,具有晶体结构, 无晶格缺陷的半体。 Si (四价元素)



. (+4) : (+4) .

(败能量)

本征激发: 受到 热、光、辐射作用, 电子脱离失价键, 留下一个空穴 空穴 载流子

复合:本征温发进过程,电子与空穴相互吸引,电子填补空穴

△本征载流子浓度

Ni=Pi= Ao T²e-Eao 2kT 予衡財歌恢复=空穴恢复

T=300K, ni=pi ~1.4×101° 载流步, 导电性弱

4B 杂质半导体

N型丰导体: 在本征半导体中掺入+5价元素(PAS Sb Bi)

施主电影 自由电子

正离子(不能移动)

Nn >> Pn | 自由电子(多子) 空穴 (ウチ)

华半导体仍呈电中性(电离出自由电子,产生离子上平衡)

(不静电)

P型半导体: 掺入+3价元素 (BAL Ga In TL)

受主电离 空穴

【不能移动 的负离子

Pn>> /n 室穴(多十)

△杂质半导体载流子浓度

Pr. nr = ni2

Ma掺杂浓度 (N型)

pn ~ 掺浓度 LP型)

以N型为例,Pn=ND ← 人为控制 (nn)

多子: 受人为控制

少子: 受温度影响大

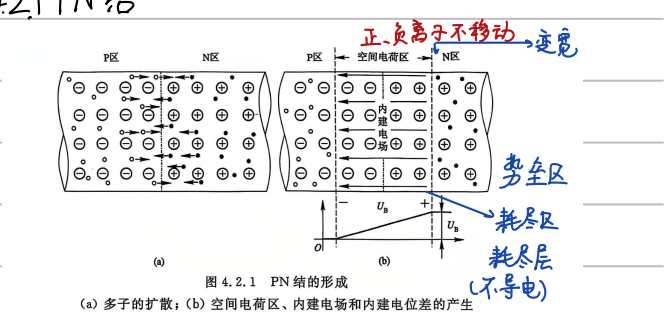
41.4半导体中电流 电场/电影影

1. 漂移电流:载流子在电场作用下漂移产生的电流

I=Ip+In 取决于:电场强度,载流子浓度,迁移率

2. 扩散电流 浓度梯度差^{扩散} 扩散运动—扩散电流 取决于: 浓度梯度差 L dx)

4.21 PN 结

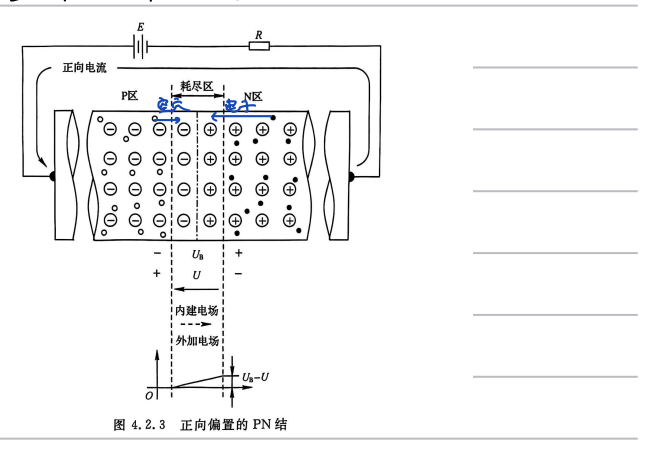


内建电场:促进少子漂移,阻碍多子扩散

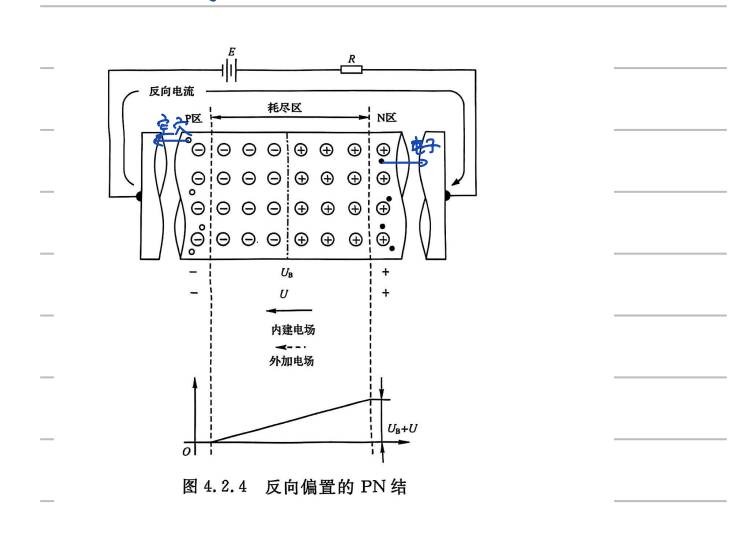
→扩散,漂移动态平衡

重掺杂的-侧延伸小 P[†]N. PN[†]

4.2.2 PN结单向导电性



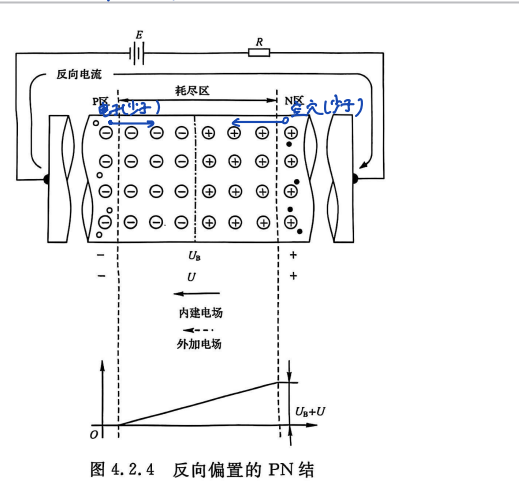
正偏:外加电场与内建电场相反,抵消内建电场 耗尽层变窄,扩散运动加强(多子),形成连续不断的正向电流 (外电路正向导通)



反偏:外加电场与内建电场相同,加强内建电场 耗尽层变宽 → 内建电场更强,多子扩散进-步抑制, 少子漂移增强,形成反向电流,结果为反向截止 PN单向导电性,来目于耗尽层

42.3 PN结击穿特性

若反向电压槽大到一定值、UBA↑. JR急剧↑→PN击穿



①雪崩击穿(常见于轻掺来PN结) > 7U (对于Si)

少于在电场作用下轰击中性原子的价电子

②齐纳击穿(常见于重掺杂PN结) 义称为强制击穿 电场足够大,直接拉出价的 5~7V间 两者皆有

42.4 PN结的电容特性

PN结具有电容特性, 可存储释放电荷

②扩散电容 (正向偏置时)

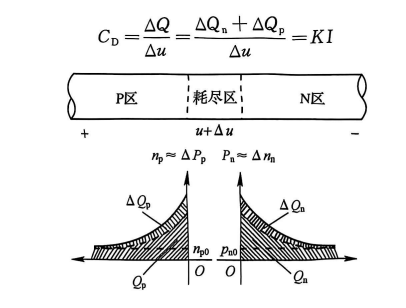


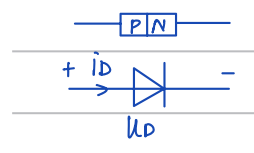
图 4.2.6 P区和 N区中存储电量的情况以及 Δu 引起的电量变化

CD= SOP+GON = KI

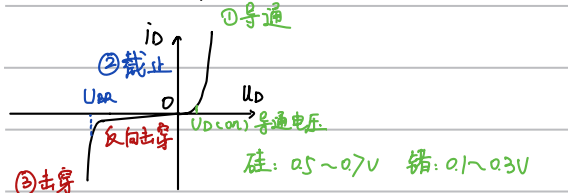
整体: CJ=CT+CD(并联) (原のCJ (ルール+pF) 正偏CD (ルールールー)

4.5晶体二极管

构造... PN结接引线, 管壳封装



4.5.1 伏安特性



关系式 导通时(ND>0)

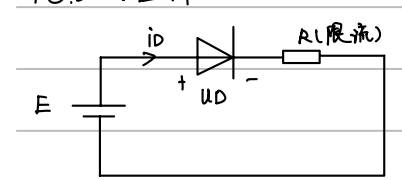
其中 UT- kT (热电压)

参数解释:①Is(反向饱和电流) 理想为。

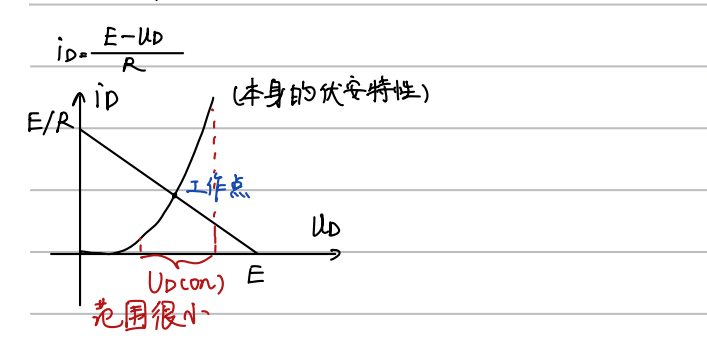
取决于选取的材料与工艺

T=300K (27°时), UT=26mV

*45.2 管压降

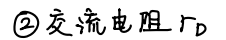


UD=E-jo-R

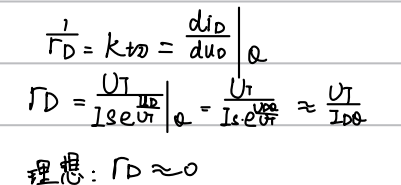


△二极管的电阻

①直流电阻RD



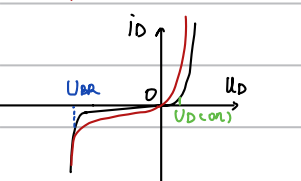




RD= 100 = 100

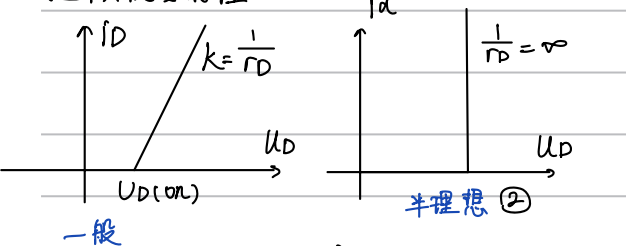
45.2温度对二极管伏安特性的影响

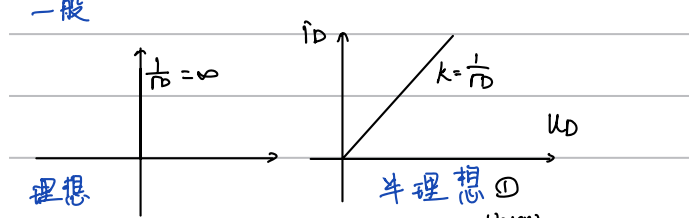
T个. 反向电流个, 击穿电压基本不变, 正向电流 雷大

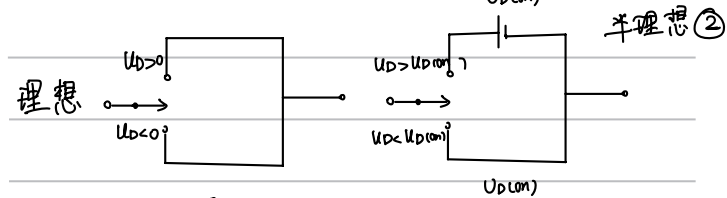


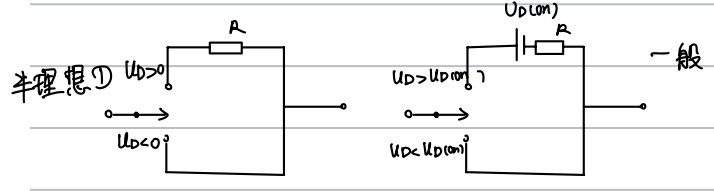
45.4 简化模型

近似伏安特性





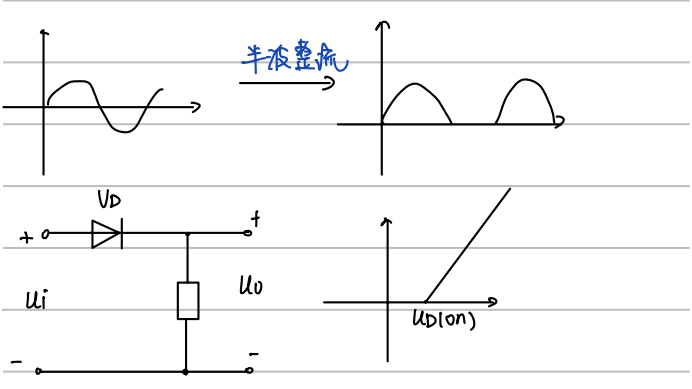




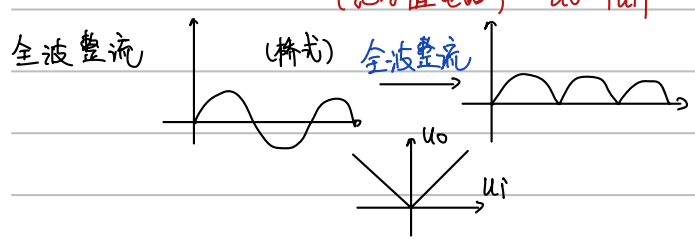
电路中.二枞管工作电压维特在Ublon)左右(管压降)

4.5.5 基本应用

の整流

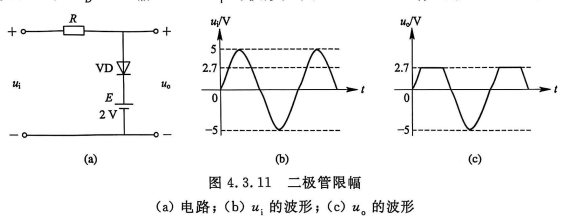


(绝对值电路) U0= |Ui|



②限幅电路

【例 4.3.4】 二极管限幅电路如图 4.3.11(a)所示,其中二极管 VD 的导通电压 $U_{\text{D(on)}} =$ 0.7 V, 交流电阻 $r_{\rm D} \approx 0$, 输入电压 $u_{\rm i}$ 的波形见图 4.3.11(b), 作出输出电压 $u_{\rm o}$ 的波形。

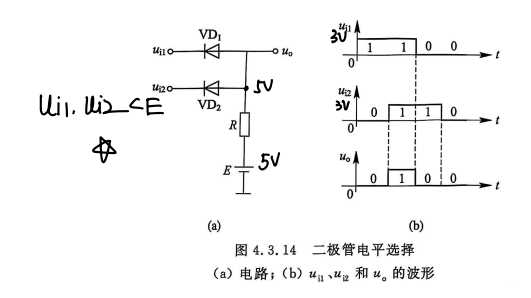


lic 2.7V 截止 lo=li

li 22.7v 导通 llo-2.7v

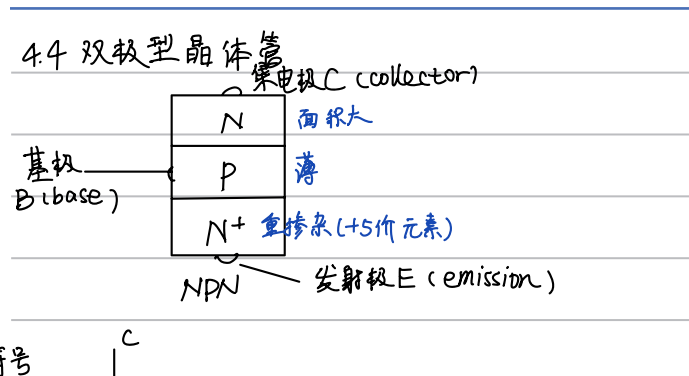
下限幅双向限幅 (书P98)

③电平选择电路

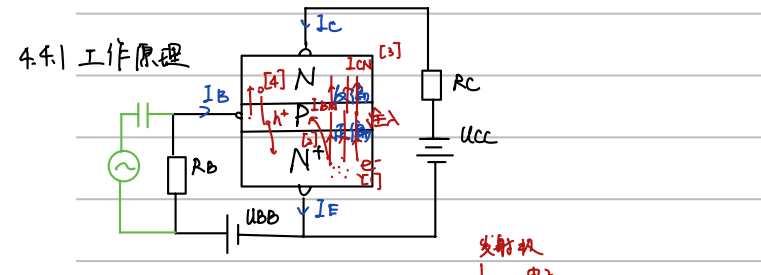


D1, D2 理想二级管

逻辑与







- [1]发射极注入电子,形成电流 IEN, IEP
- [2] 基区电子选扩散边复合, 复合电流 IBN
- [3] 集电区收集电流 ICN
- [4] 集电极与基极,少子漂,移电流 ICBO

电流关系: IBN+LCN

- D le=len+lep
- 2 IB= IBN+lep- ICBO ≈ IBN
- 3 Ic= Icn + IcBO & Ich

通过桌选,得 Ion=β Ion , β — 共射直流放大倍数

20 CB < 200

共基直流放大倍数 J= ICN C

0.97 < 2 < 0.99

 $\frac{\int_{E} - (\mu \beta) \int_{B}}{\overline{\beta}} = \frac{\overline{a}}{1 - \overline{a}} + \frac{1}{a}$

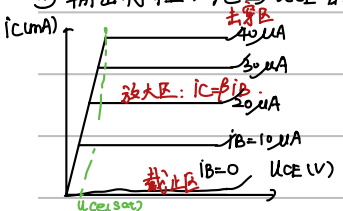
微小的 Len - I an 很大的变化

能量由外加电源转化而来

本质:电流控制电低源

4.4.2 伏安特性

①输出特性: jc hlee 的关系



a.放大区:发射结正偏集电结反偏

① ic-βia ② iB-定时, ic 随lice不变L恒流特性)

b.饱和区:发射结正偏,集电结正偏或零偏,电流大幅减水

DiC+iB.P ②放大倍数比放大区小很多

临界饱和线:集电结塞偏时对应点运成的线

C.截止区、积间电流为O iC=iB=iE=0,各间开路
d.击穿区 UCBOlom—击穿电压

②输入特性

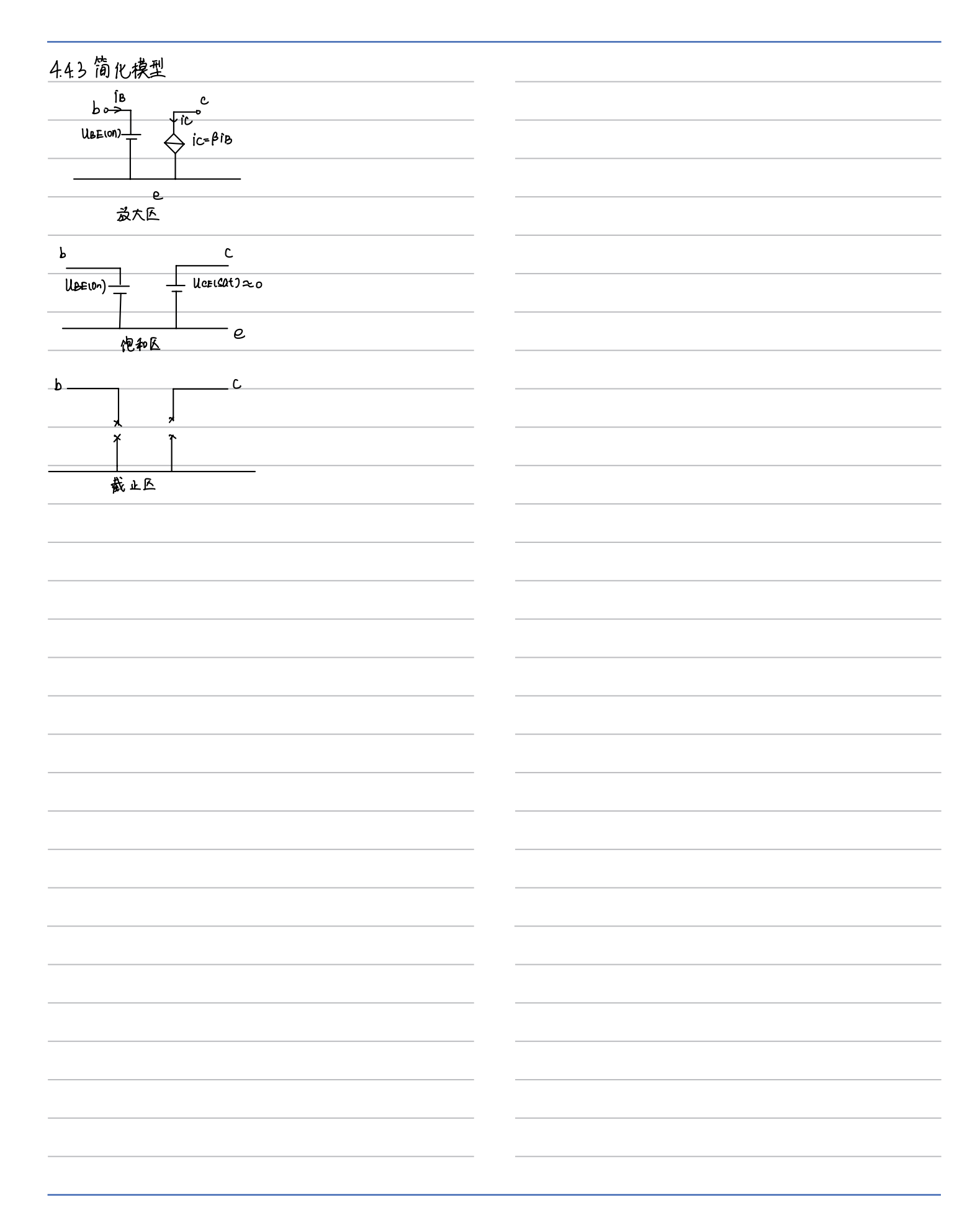
IB与 lbe 的关系



③转移特性

LLNPN到 PNP (中心对称)

交流效人倍数 $\beta = \frac{\text{dic}}{\text{dig}} \approx \frac{\text{ic}}{\text{lip}} = \beta = \beta$, 之后不区分月与户



436 稳压二极管

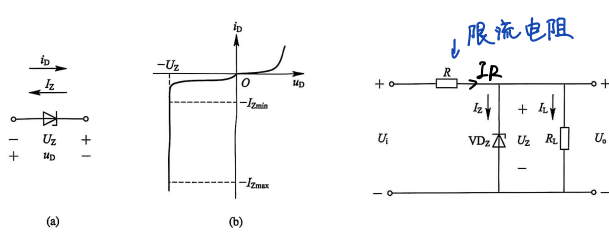


图 4.3.15 稳压二极管 (a) 电路符号;(b) 伏安特性

图 4.3.16 稳压二极管电路

① Pn ___ 最大功能

Izmax = Pm 格压电压

②限流电BR取值范围变量

$$I_{8} = I_{R} - I_{L} = \underbrace{(0)_{1}_{1}_{1}_{0}_{2}}_{R} - \underbrace{0}_{R_{L}}_{R_{L}}$$

Ui最小, AL最小, IZ最小,但IZ>IZmin

解得 R S Jamin Rumitte RLmin Rmax

U;最大,凡最大,但及CIsman

【例 4.3.8】 稳压二极管限幅电路如图 4.3.18 (a)所示, 其中稳压二极管 VD_{Z1} 和 VD_{Z2} 的稳定电压 $U_Z=5$ V,导通电压 $U_{D(cn)}\approx 0$,输入电压 u_1 的波形见图 4.3.18 (b),作出输出电压 u_c 的波形。

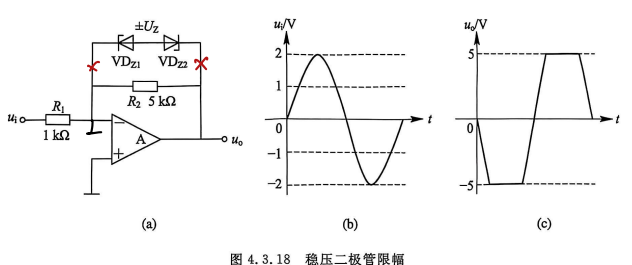


图 4.3.18 稳压二极管限幅
(a) 电路; (b) u; 的波形; (c) u。的波形

4.5 场效应管

45.1结型场效应管

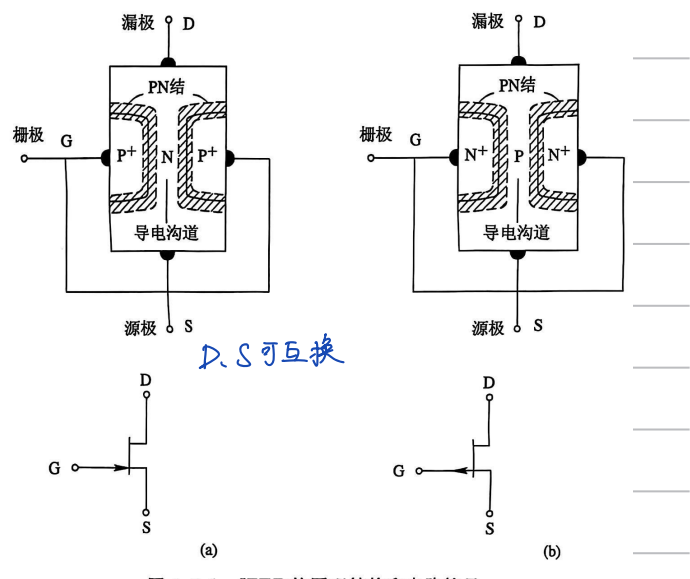
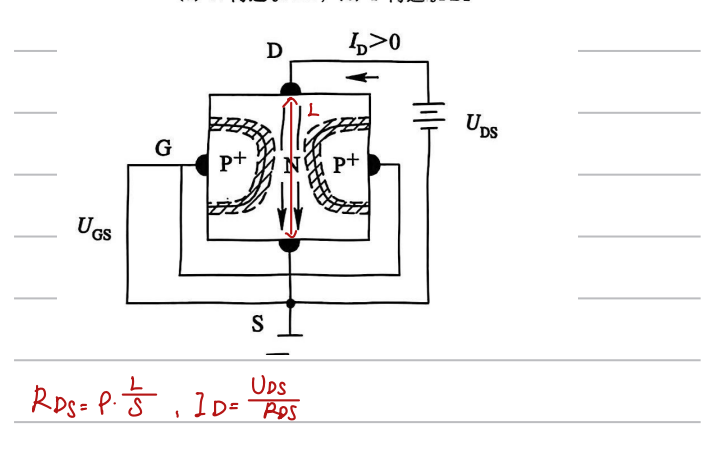


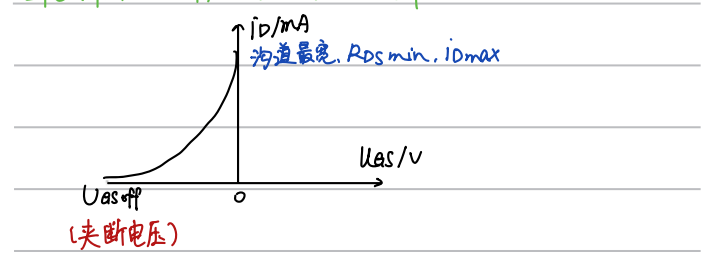
图 4.5.1 JFET 的原理结构和电路符号 (a) N沟道 JFET; (b) P沟道 JFET



D栅源电压Uas cG→S,栅极→海极) 全Uos=0

加反问电压, PN结耗尽区变宽, 导电沟道变窄(均匀变窄)

当 Uas > Uesoff, 无导电沟道, 夫断电压



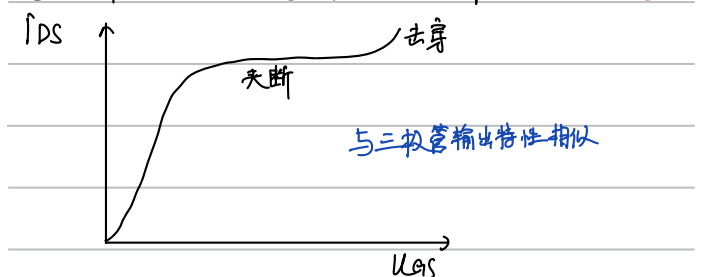
②漏源电压 UDS ,此时 UGS=0

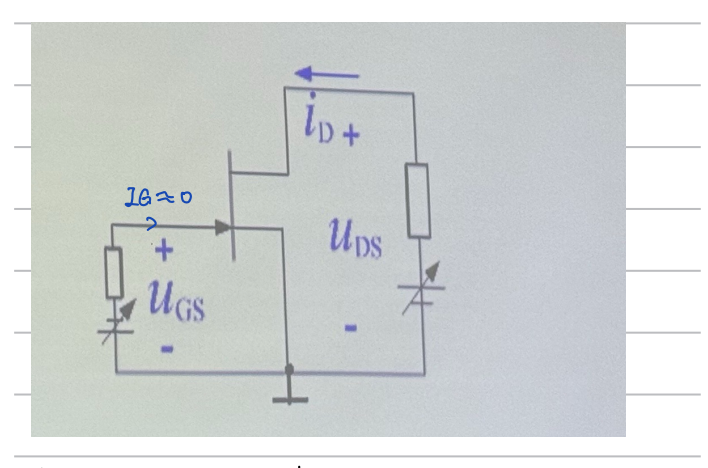
UDG=UDS-UGS≥0. PN结反编

但此时UDG20, Uas=0, 沟道不均与变窄

Ups再个, 来斯区T, 电阻区 Ups再个, 未斯区T, 电阻区 Ups再个, 未斯区T, 电阻区 Ups再个, 未斯区T, 电阻区 Ups再个, 未斯区T, 电阻区 Ups再个, 表斯区T, 电阻区 Ups再个, 表斯区 Ups再个, 更加区 Ups再个, 表斯区 Ups再个, 表斯区 Ups再个, 更加区 Ups再个, 表斯区 Ups再个, 表斯区 Ups再个, 更加区 Ups再个, Upsper, Upsp

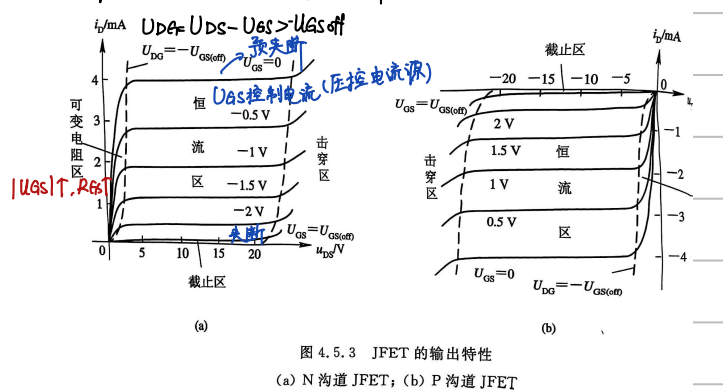
UDG2|UGSHI 后. 增大UDG. 沟道略变定, 源端内N结基本不变





输出特性 iD=f(llos) leas=C

D UDS T, iD迅速增大,直到预夫断



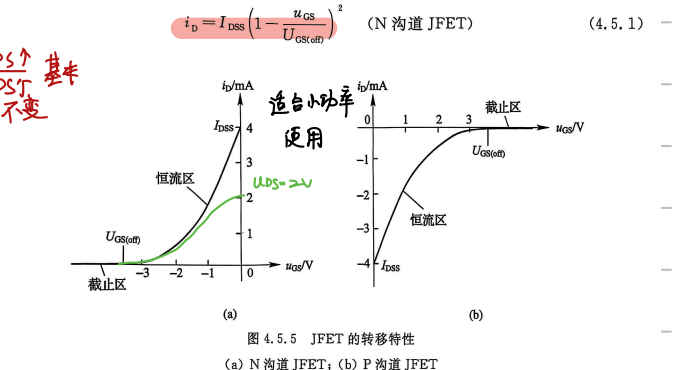
②[UGS]T, 源极也出现沟道变量, iDI

性质:Dqm= dip Alas ,平方单关系 (用跨导描述)

② 预夹断前, iD随 llps近似线性, 斜车党 lles(棚顶电压) 控制呈规为一电阻 PPS= llp , 压控电阻 (定ll 低调控)

转移特性 iD=f(las) ubs= C

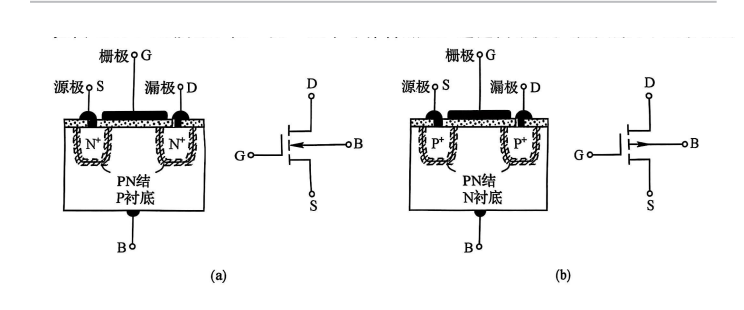
 $i_{\rm D}$ 与 $u_{\rm CS}$ 的关系称为场效应管的转移特性, 如图 4.5.5 所示。在恒流区内, $i_{\rm D}$ 与 $u_{\rm GS}$ 的平方率关系可以描述为



4.5.2 绝缘栅场效应管

沟道增强型: 无沟道 → 电压 → 有沟道

耗尽型: 有沟道 コ电压つ无沟道



DUGS的影响, 佩取UDS=0

Ues= Uescth) 时, 沟道形成

②Ups的影响

Upst. Upt. Va UADL

UGD=-Uasith) = UDS=UGS-UGSth 时. 预失断

Ups再介. 漏源电流基本不变(恒流状态)

转售性 ↑ iD Uas.	
UDS	
UA —	
OA .	
UA:厄尔利电压,入= UA, UA很大	
UA:C小们电压,A=UA,UA很大	
	4+2 0 Mpo .2 光 > 性
	4.5.3 CMOS t为效应管
	PMOS与 NMOS 工艺上串联而成

4.6三极管与场效应管低频小信号简化模型

静态工作点 Q在放大区,然后对交流放大(放大交流小信号)

UBE=UBEQ+Ube WES

ic= ica+ic 交流小电流

4.6.1 双权型三极管

当交流信号频率比较低,忽略半导体体电阻和 PN 结结电容时,则可以用图 4.6.2 所示的低频小信号简化模型来分析计算晶体管对交流信号的作用。该模型包括输入电阻、受 控源和输出电阻。

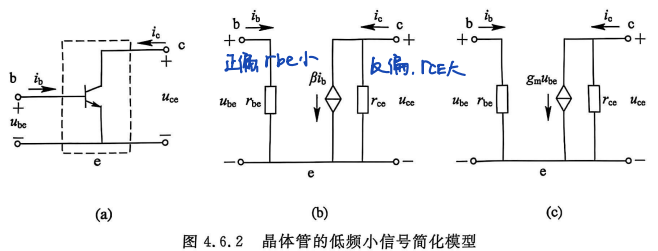


图 4.6.2 晶体管的低频小信号简化模型 (a) 晶体管;(b) 流控型模型;(c) 压控型模型

re (Hβ)

The = dube = dube die = (Hβ) re, re:发射结交流电阻

rce=duce a ≈ UA rce根大,可视为升路

4.6.2 场效应管的交流小信号模型

只有压控电流源模型,输入电流为 O

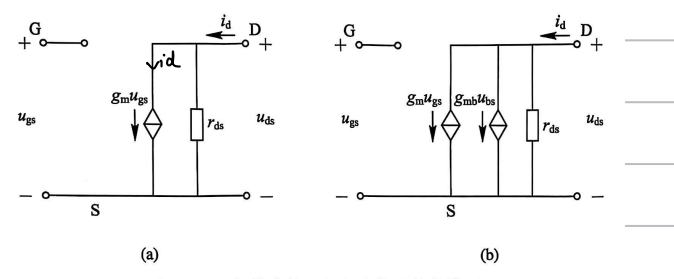


图 4.6.6 场效应管的低频小信号简化模型 (a) 一般模型;(b) 考虑背栅跨导的模型

rds= duds	Q ≈ <u>UA</u> Ipa
dip	_
gm = duas	0-
-0	